

**АНОМАЛЬНЫЙ РОСТ ПРОВОДИМОСТИ
В СИСТЕМЕ α -(BEDT – TTF – d₈)₂I₃
В ОБЛАСТИ ФАЗОВОГО ПЕРЕХОДА МЕТАЛЛ – ДИЭЛЕКТРИК**

К.И.Походня, Ю.В.Сушко, М.А.Танатар, Г.О.Барам, А.А.Юрченко

Обнаружено резкое изменение проводимости дейтероаналога α -(BEDT – TTF)₂I₃ вдоль кристаллографической оси *a* в области температур выше фазового перехода металл – диэлектрик. Обсуждается возможный механизм этого явления.

Имеющиеся сведения об электрических, термоэлектрических и магнитных свойствах органического проводника α -(BEDT – TTF)₂I₃^{1–4}, указывают на то, что с понижением температуры в системе происходит диэлектрический переход ($T_p = 138$ К).

В настоящей работе обнаружены аномальные проводящие свойства α -(BEDT – TTF – d₈)₂I₃ в области температур выше фазового перехода.

Кристаллы α -(BEDT – TTF – d₈)₂I₃ были получены электрохимическим окислением BEDT – TTF – d₈ по стандартной методике³, и имели форму, близкую к ромбической, с типичными размерами $2 \times 2 \times 0,02$ мм³. Параметры элементарной ячейки α -(BEDT – TTF – d₈)₂I₃ хорошо совпадают с описанными для α -(BEDT – TTF)₂I₃¹.

Проводимость монокристаллов измерялась на постоянном токе четырехконтактным методом в направлении осей *a* и *b* (вдоль длинной и короткой диагоналей ромба). Обозначения осей в соответствии с¹.

Исследования анизотропии проводимости проводились по методу, аналогичному методу Монтгомери⁵. Ввиду того, что попытки приготовить образец прямоугольной формы со сторонами, совпадающими с осями *a* и *b* кристалла, приводили к растрескиванию, мы располагали контакты по серединам сторон ромба, как показано на вставке рис. 2. Острый угол ромба равен 82°, расстояния между контактами 1 – 2, 2 – 3, 3 – 4 и 1 – 4 приблизительно одинаковы ($\pm 0,1$ мм). В одном термическом цикле измерялись по четырехконтактной схеме два сопротивления при различных конфигурациях: а) контакты 1, 4 – токовые, 2, 3 – потенциальные (R_{23}); б) 1, 2 – токовые контакты, 3, 4 – потенциальные (R_{34}). Затем определялось их отношение (R_{23}/R_{34}), которое, очевидно, пропорционально отношению проводимостей кристалла вдоль выделенных осей, τ_a/τ_b .

Представленные на рисунках 1 и 2 экспериментальные результаты, позволяют выделить следующие особенности. 1) В области температур 300 – 180 К проводимость изменяется по закону $\sigma \sim T^{-1/2}$, что отличается от закона изменения проводимости как в обычных металлах (T^{-1}) , так и в широко исследованных квазиодномерных проводниках (T^{-2}) ⁶.

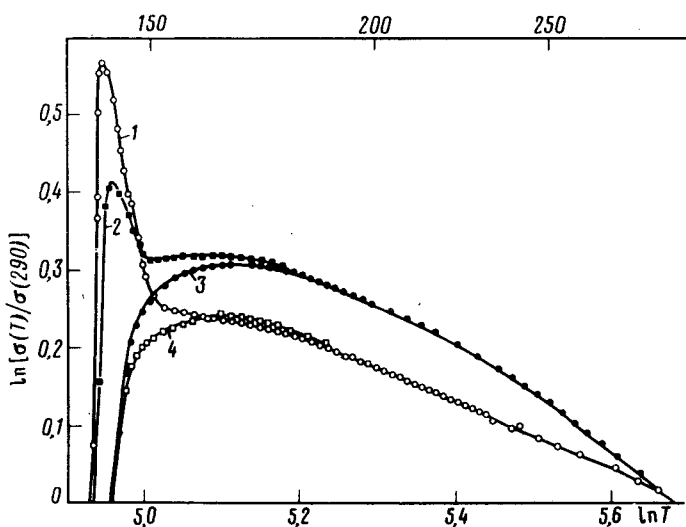


Рис. 1 . Температурные зависимости проводимости вдоль оси *a* четырех кристаллов α - $(\text{BEDT}-\text{TTF}-\text{d}_8)_2\text{I}_3$. Кривая 2 получена после легирования образца 4 в насыщенных парах иода в течение 15 мин при комнатной температуре

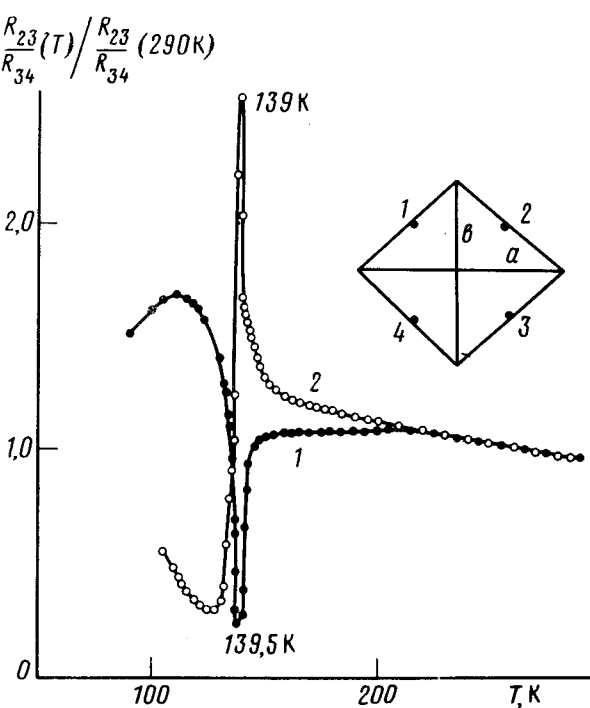


Рис. 2. Температурные зависимости анизотропии проводимости кристаллов α - $(\text{BEDT}-\text{TTF}-\text{d}_8)_2\text{I}_3$ стехиометрического (1) и нестехиометрического (2) составов. На вставке – геометрия расположения контактов.

2) В предшествующей переходу области температур 180 – 140 К проводимость σ_a различается у различных кристаллов из одной партии: а) в большинстве кристаллов проводимость достигает максимума при 165 К, а затем плавно падает. Такое поведение является обычным для α - $(\text{BEDT}-\text{TTF})_2\text{I}_3$ ¹; б) в некоторых кристаллах проводимость продолжает расти и демонстрирует аномальный резкий максимум в узкой области температур 148 – 140 К, непосредственно предшествующей переходу. 3) Аномальный рост проводимости σ_a в предпереходной области связан с отклонением от стехиометрии комплекса в процессе синтеза

или легирования. 4) Ни в одном из исследованных кристаллов проводимость вдоль оси b не демонстрировала роста в области температур, предшествующей переходу. 5) Предпереходное падение σ_b происходит в более узкой области T . 6) Температура перехода металла – диэлектрик, определенная по максимуму $d\ln\sigma/d(1/T)$, является одинаковой как для σ_a , так и для σ_b ($T_p = 138 \pm 0,5$ К). 7) Температура перехода не изменяется от образца к образцу. 8) Анизотропия проводимости, существенно изменяясь в области перехода, ниже перехода ($T \approx 100$ К) стремится к величине, близкой к значению при комнатной температуре.

Свойства, подобные (2) – (5), характерны для квазидномерных кристаллов TTF – TCNQ и TTT₂I₃, и нашли объяснение в проявлении дополнительного механизма проводимости посредством несоизмеримой волны зарядовой плотности (ВЗП), вызванной пайерлсовской неустойчивостью ^{6, 7}. Однако, одномерный характер электронного спектра, приводящий к расходимости функции линейного отклика $\chi(q)$ электронной плотности на внешний потенциал, заведомо обеспечивает выполнение критерия пайерлсовской неустойчивости [1 – $\lambda(q)$].

$\chi(q) < 0$, где $\lambda(q)$ – константа электрон-фононного взаимодействия, и открытие диэлектрической щели на всей поверхности Ферми.

В двумерной же системе, $\chi(q)$ имеет слабую особенность, и указанный критерий выполним лишь при достаточно больших значениях λ . Именно такая ситуация реализуется в слоистых соединениях дихалькогенидов переходных металлов, где пайерлсовская неустойчивость проявляется в образовании ВЗП, но не приводит к диэлектризации системы ⁸.

По структурным, электрическим, а также оптическим данным ^{1, 2, 3, 9}, α -(BEDT-TTF)₂I₃ является квазидвумерным проводником. Поэтому предположение о возможном вкладе ВЗП в проводимость и пайерлсовском характере перехода должно основываться на большей величине λ .

В пользу того, что константа электрон-фононного взаимодействия системы действительно велика, свидетельствуют: а) низкая электропроводность кристаллов при комнатной температуре (из-за сильного рассеяния электронов на фонах); б) высокое значение T_p ($T_p \approx \approx T_F \exp(-1/\lambda)$ ^{6, 8}, где T_F – температура Ферми).

Поэтому можно предположить, что обнаруженные аномалии проводимости связаны с пайерлсовским искажением решетки вдоль оси a . Следующая за пайерлсовским переходом диэлектризация системы может быть следствием подключения других механизмов, например анионного упорядочения.

Авторы выражают благодарность В.Н.Баумеру, определившему постоянные решетки кристаллов, М.К.Шейнкману и И.И.Украинскому за интерес к работе, полезные советы и обсуждения.

Литература

1. Ягубский Э.Б., Щеголев И.Ф., Даухин В.Н. и др. Письма в ЖЭТФ, 1984, **40**, 387.
2. Bender K., Henning I., Schweitzer D. et al. Mol. Cryst. Liq. Cryst., 1984, **108**, 359.
3. Мержанов В.А., Костюченко Е.Э., Фабер О.Е. и др. ЖЭТФ, 1985, **89**, 292.
4. Баран Н.П., Походня К.И. УФЖ, 1985, **30**, 1164.
5. Montgomery J. J. Appl. Phys., 1971, **42**, 2971.
6. Jerome D., Schultz H. Adv. Phys., 1982, **31**, 299.
7. Горелов Б.М., Даухин В.Н., Щеголев И.Ф. ЖЭТФ, 1981, **80**, 2403.
8. Friend R., Jerome D. J. Phys. C, 1979, **12**, 1441.
9. Козлов М.Э., Походня К.И., Танатар М.А., Ягубский Э.Б. УФЖ, 1985, **30**, 1310; Kaplinov M.G., Yagubski E.B., Rosenberg L.R. et al. Phys. Stat. Solid., 1985, A89, 509.